



OFICINA ESPAÑOLA DE PATENTES Y MARCAS

ESPAÑA



(1) Número de publicación: 2 623 986

51 Int. Cl.:

G01N 33/574 (2006.01)

(12)

TRADUCCIÓN DE PATENTE EUROPEA

T3

(86) Fecha de presentación y número de la solicitud internacional: 28.12.2006 PCT/KR2006/005836

(87) Fecha y número de publicación internacional: 07.09.2007 WO07100183

(96) Fecha de presentación y número de la solicitud europea: 28.12.2006 E 06835536 (1)

(97) Fecha y número de publicación de la concesión europea: 08.02.2017 EP 1989552

(54) Título: Marcadores proteicos para diagnosticar cáncer de estómago y kit de diagnóstico que usa los

(30) Prioridad:

28.02.2006 KR 20060019517

(45) Fecha de publicación y mención en BOPI de la traducción de la patente: 12.07.2017 (73) Titular/es:

BIOINFRA INC. (100.0%) 8th Fl., Cancer Research Institute Seoul National University, College of Medicine, 28, Yongondong, Chongno-gu Seoul 110-799, KR

(72) Inventor/es:

KIM, CHUL WOO; OHN, SYNG-YUP; HAN, MI YOUNG y SHIN, YONG-SUNG

(74) Agente/Representante:

MILTENYI, Peter

DESCRIPCIÓN

Marcadores proteicos para diagnosticar cáncer de estómago y kit de diagnóstico que usa los mismos

[Campo técnico]

La presente invención se refiere a marcadores proteicos para su uso en el diagnóstico de cáncer de estómago, más precisamente a marcadores proteicos para su uso en el diagnóstico de cáncer de estómago examinados mediante electroforesis en gel bidimensional y bioinformática, así como a un método de examen *in vitro* de identificación de un grupo con alto riesgo de padecer cáncer de estómago.

[Técnica anterior]

10

15

20

25

30

35

40

45

El cáncer es ahora una causa principal de muerte superando a la enfermedad cardiaca en el siglo XXI. Por tanto, la prevención, el diagnóstico y el tratamiento del cáncer son preocupaciones principales en todo el mundo. Corea no es una excepción. Desde 1988, el cáncer ha sido la principal causa de muerte en Corea. En el caso del cáncer de estómago, se ha reducido en países americanos y europeos, pero todavía muestra la mayor frecuencia de aparición en Corea y Japón. Según el informe del registro de cáncer, Seúl, Corea (1992-95), los pacientes con cáncer de estómago constituyen el 23% de los pacientes con cáncer totales (hombres: el 24,7%, mujeres: el 17,3%). La edad promedio de aparición son los 54 años, principalmente 40 – 60, pero la edad de los 20 años constituye aproximadamente el 3% y la frecuencia de la enfermedad en hombres es el doble que en mujeres. Sin embargo, una vez diagnosticado de manera temprana, la tasa de supervivencia es de al menos el 90%, lo que sugiere que el diagnóstico temprano de cáncer de estómago es muy importante para la vigilancia de la atención sanitaria nacional.

La tumorigénesis, la progresión y el cambio maligno son el resultado de la acción combinada tanto de factores genéticos como de factores ambientales para dar como resultado cambios en el proteoma. La correlación entre el nivel de concentraciones moleculares de proteínas, implicadas directamente en las rutas de metabolismo y regulación esenciales para la supervivencia de todas las células incluyendo las células cancerosas, y el nivel de ARNm relevante es muy baja (coeficiente de correlación = 0,48), por lo que el enfoque centrado en el ARMm basado en el examen de alto rendimiento de un gen diana podría conducir a un malentendido sobre las funciones biológicas de la proteína diana. La actividad, la estabilidad, la ubicación intracelular y el recambio de la proteína implicada en la supervivencia, la diferenciación y la muerte celulares se regulan mediante diversas modificaciones postraduccionales (PTM). Por tanto, es más importante analizar un proteoma que centrarse en el ARNm.

El cáncer es una enfermedad sistémica, en la que están implicados más funciones y procesos biológicos de diversos órganos en lugar de uno o dos tipos de células o tejidos. Por tanto, han de examinarse tales muestras clínicas, que pueden reflejar todos los cambios en el proteoma, tales como, en suero o líquido corporal. De hecho, el diagnóstico clínico general se ha realizado a través del análisis del líquido corporal. Por tanto, desarrollar un método de diagnóstico novedoso usando líquido corporal que facilite el examen primario eficaz podría preparar el camino hacia una mejora significativa de la tasa de supervivencia de los pacientes con cáncer.

La combinación de biotecnología (BT) y tecnología de la información (IT) dio lugar a la bioinformática y la bioelectrónica que facilitan el análisis fácil, rápido y eficaz de una enorme cantidad de datos. En particular, la bioinformática es una técnica para recoger, almacenar y analizar la enorme cantidad de información que contiene un organismo vivo, y usar tal información en el campo del desarrollo de fármacos, producción de alimentos, agricultura y actividades medioambientales, etc., dando como resultado el establecimiento de información biológica S/W, servicio de información biológica e infraestructura de tecnología de la información. La extracción de información de imágenes es una nueva técnica de aplicación de bases de datos, que es una combinación técnica de técnica de bases de datos de imágenes y técnica de extracción de información de datos. A diferencia de la extracción de información de datos general probada en el campo de la bioinformática, la extracción de información de imágenes es una técnica novedosa nunca antes probada de manera nacional ni en el extranjero. Las técnicas de extracción de información de datos general se basan en estadísticas aplicadas, lo que sugiere es limitada a la hora de obtener información relevante precisa. Por ejemplo, se espera que las manchas de proteomas, observadas en la imagen obtenida mediante electroforesis en gel bidimensional, incluya información sobre el estado patológico (normal o enfermo) y diversas características del paciente. Por tanto, si es posible extraer información relevante usando la técnica de extracción de información de imágenes, el método de diagnóstico y la predicción del pronóstico, dependiendo del estadio y la clasificación histopatológica, mejorará y/o se complementará significativamente.

La patente coreana n.º 2004-0055893 describe el método de generación de moldes automático para construir redes de interacción de proteínas y la patente coreana n.º 2003-0092462 describe el método y el kit para diagnóstico del estadio de progresión del cáncer investigando el nivel de la proteína p53 o la proteína Bcl-X L o la correlación de las dos y la proteína Bcl-2. Sin embargo, estas dos descripciones no incluyen las explicaciones sobre el desarrollo del marcador de cáncer de estómago mediante el uso de electroforesis en gel bidimensional y bioinformática.

Se conoce proporcionar biomarcadores basándose en enfoques proteómicos, por ejemplo, de los documentos US2004/0121 343 A1 y HE Q. Y. *et al.*: "Proteomics in biomarker discovery and drug development" J. CELL BIOCHEM. vol. 89, n.º 5, agosto de 2003, páginas 868-886. El documento EP 1 394 182 A1 se refiere a agentes y métodos para el diagnóstico y la terapia del cáncer y la identificación de marcadores relacionados con cáncer. Tanto

el documento de KIM J.S.: "Identification of a possible marker protein for gastric cancer by proteomic analysis" MASTER THESIS OF COLLEGE OF PHARMACY, CHOONG-ANG UNIVERSITY (COREA) 2002 como el de RYU J. W. et al.: "The proteomics approach to find biomarkers in gastric cancer" J. KOREAN MED. SCI. vol. 18, 2003, páginas 505-509 se refieren a la identificación de proteínas marcadoras para el cáncer gástrico mediante el análisis proteómico. JANG J. S: et al.: "The diferential proteome profile of stomach cancer: identification of the biomarker candidates" ONCOL. RES. vol. 14, n.º 10, 2004, páginas 491-499 se refiere a un perfil de proteoma diferencial de cáncer de estómago para la identificación de candidatos de biomarcador, y HE Q. Y. et al.: "Diverse proteomic alterations in gastric adenocarcinoma" PROTEOMICS vol. 4, n.º 10, octubre de 2004, páginas 3276-3287 da a conocer alteraciones proteómicas en adenocarcinoma gástrico.

10 [Divulgación]

15

30

35

[Problema técnico]

Un objeto de la presente invención es proporcionar un método para examinar una proteína marcadora para diagnosticar cáncer de estómago, que difiere de manera característica en su expresión en cáncer de estómago, usando electroforesis en gel bidimensional y bioinformática y un uso del marcador como marcador de diagnóstico temprano para cáncer de estómago.

[Solución técnica]

Para lograr el objeto anterior, la presente invención proporciona un método de examen para identificar un grupo de alto riesgo de padecer cáncer de estómago según la reivindicación 1.

La presente invención también proporciona un uso de alfa-2-glicoproteína rica en leucina (LRG) como marcador para diagnosticar cáncer de estómago.

La presente invención proporciona además un uso de LRG y/o un anticuerpo contra LRG en un método de examen *in vitro* para identificar un grupo de alto riesgo de padecer cáncer de estómago.

A continuación se facilitan las descripciones de los términos usados en la presente invención para ayudar en la comprensión de la presente invención.

"Marcador" indica la sustancia, que se encuentra claramente en la muestra de suero de un paciente con enfermedad determinado, pero no en muestras de suero normales. El marcador o marcadores comprenden un único polipéptido o una combinación de polipéptidos.

"Patrón de proteomas" indica un grupo de polipéptidos específicos o una agrupación de polipéptidos encontrados claramente en la muestra de suero obtenida de un paciente con una enfermedad determinada pero no en las muestras de suero normales. Por ejemplo, en este criterio se incluye un grupo de proteínas en suero que muestran cambios específicos en su nivel debido a enfermedad y/o la morfología y ubicación bidimensional del grupo.

"Extracción de información de datos" indica el procedimiento diseñado para encontrar la correlación entre datos relevantes, más precisamente, el procedimiento en el que se extrae un nuevo modelo de datos de los datos almacenados en la base de datos, que no se ha dado a conocer todavía, e información útil en el futuro es tomada del nuevo modelo de datos y aplicada a la toma de decisiones. Es decir, se extrae información relevante investigando patrones ocultos en los datos.

A continuación en el presente documento se describe la presente invención en detalle.

La presente invención proporciona un método de examen para identificar un grupo de alto riesgo de padecer cáncer de estómago que comprende las etapas tal como se define en la reivindicación 1.

40 Los presentes inventores obtuvieron muestras de suero de individuos sanos normales y pacientes con cáncer, seguido por tratamiento de imágenes bidimensionales para el proteoma de suero. Entonces, se aplicó bioinformática para analizar los datos preparados y como resultado se identificaron las proteínas marcadoras óptimas que podían distinguir un individuo normal de un paciente con cáncer.

En particular, los presentes inventores realizaron electroforesis en gel bidimensional para establecer datos de imágenes de proteínas que muestran cambios significativos en el nivel de expresión según el desarrollo del cáncer (en el presente documento, cáncer de estómago), a los que se aplicaron técnicas de bioinformática, dando como resultado el establecimiento de un uso novedoso de los marcadores proteicos para diagnosticar cáncer de estómago. En primer lugar, se recogieron sueros tanto de personas sanas como de pacientes con cáncer. Los pacientes con cáncer de estómago eran hombres con una edad promedio de 58,7 años (edad de entre 33 - 78) y mujeres con una edad promedio de 56,2 años (edad de entre 29 - 77) (véase la tabla 1).

Se investigaron las condiciones óptimas para la electroforesis en gel bidimensional para examinar proteomas de suero. Como resultado, para dar los mejores resultados, se usó una tira de 13 cm, el intervalo de pH fue de 4-7, los voltios-hora totales para la IEF (isoelectroenfoque) fueron 62.000 Vh, la cantidad de proteína de suero cargada fue

de 200 ug, y la composición del tampón de rehidratación fue urea 8 M.

Tras completarse la electroforesis, se detectaron proteínas mediante patrones de tinción. Para detectar manchas en las imágenes de gel de electroforesis bidimensional, se usó un programa informático para establecer bases para la comparación de imágenes. En particular, se detectaron manchas mediante filtración de imágenes, sustracción de fondo, eliminación de rayas verticales y horizontales y comparación de variantes usando un programa informático. Y se estableció la base de datos con los resultados.

Cuando se midieron las muestras y se estableció de ese modo la base de datos, se analizaron los datos mediante enfoque de bioinformática. El software usado en bioinformática puede constituir códigos para cambiar los datos de imágenes en códigos legibles, lo que incluye el código para aplicar un algoritmo a la información sobre los marcadores proporcionados por la presente invención. Se usaron diversas técnicas de bioinformática para examinar un marcador proteico asociado con cáncer de estómago. El análisis usado en la presente solicitud usando técnicas de bioinformática comprende las etapas de generar un ejemplo del proteoma que porta el patrón de proteoma específico de enfermedad y entrenar para establecer la base de datos (fase de entrenamiento); y extraer datos específicos de proteoma de suero diana y compararlos con el proteoma específico de enfermedad anterior para determinar la aparición de la enfermedad en el proteoma de suero diana (fase de pruebas).

"Entrenamiento" en el presente documento indica la generación de un modelo de clasificación mediante algoritmo usando datos establecidos de muestras conocidas de pacientes con cáncer de estómago y personas sanas normales. En este momento, los datos usados para generar un modelo de clasificación se denomina "conjunto de datos de entrenamiento" y los grupos que proporcionan los datos se denominan "grupos de entrenamiento". Una vez terminado el entrenamiento, el modelo de clasificación reconoce un patrón de datos de muestras desconocidas y lo clasifica.

Una máquina de vectores de soporte es un programa de aprendizaje que facilita el reconocimiento de patrones, que puede tratar múltiples variantes al mismo tiempo y clasificarlas. Esta máquina de vectores de soporte puede interpretar datos no lineales de la zona de entrada para dar datos lineales y proporcionar un límite óptimo (plano de separación óptimo o hiperplano) entre cada característica. La máquina de vectores de soporte se divide mayoritariamente en proceso de entrenamiento y proceso de evaluación. En el proceso de entrenamiento, se genera un vector de soporte. Y en el proceso de evaluación, se realiza la valoración considerando características especificadas. La muestra se compone de n objetos, y el i-ésimo objeto se representa como el vector xi que comprende p variantes y entonces la clase correspondiente que se ha clasificado previamente se indica como yi. Por tanto, si hay dos clases, yi es o bien "1" o bien "-1" (cáncer o normal). La función discriminante para el patrón de entrada aleatorio es tal como sigue.

$$D(x) = signo(wx + b) = \begin{cases} +1, si wx + b \ge 0 \\ -1, si no \end{cases}$$

w: vector de peso

b: umbral

El hiperplano óptimo que divide los datos en dos clases es la línea discontinua en el gráfico siguiente. Las dos líneas discontinuas y el margen (d) son tal como sigue.

$$(w \cdot x) + b = \pm 1, d = 2 / || w ||$$

Para diseñar un vector de soporte adecuado para el fin, han de determinarse el vector de peso (w) y el límite (b). Es decir, según la fórmula: $y \lceil (w \cdot x) + b \rceil \ge 1$, se examinan w y b que pueden minimizar || w ||.

40

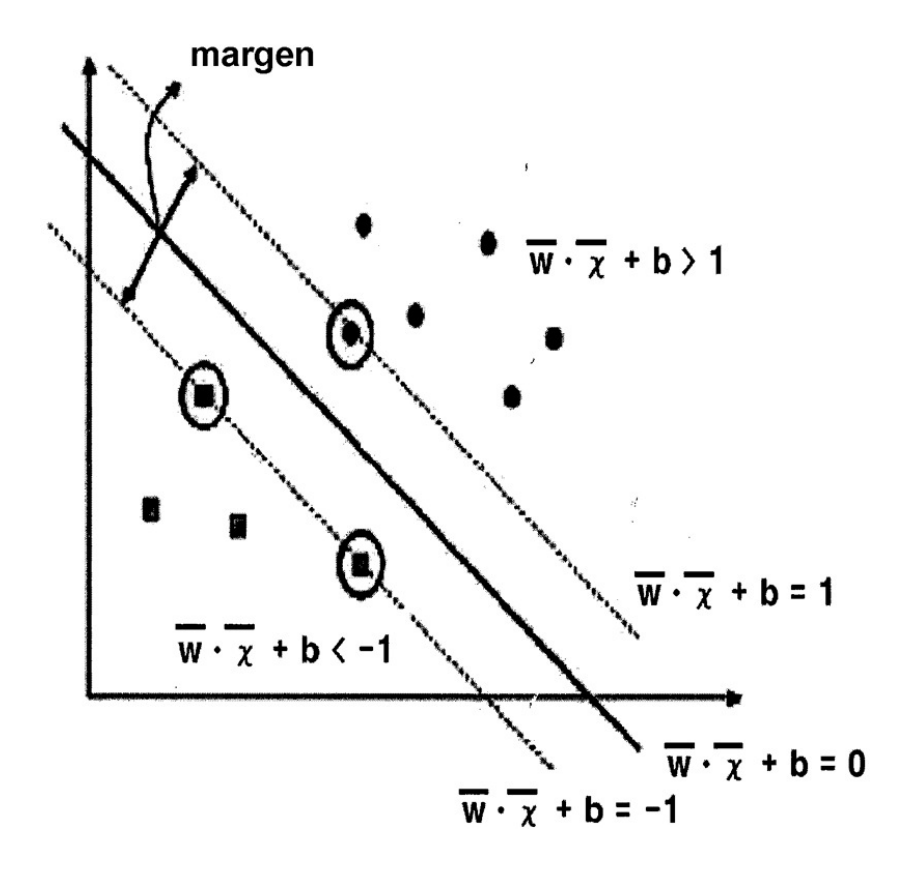
5

10

15

20

25

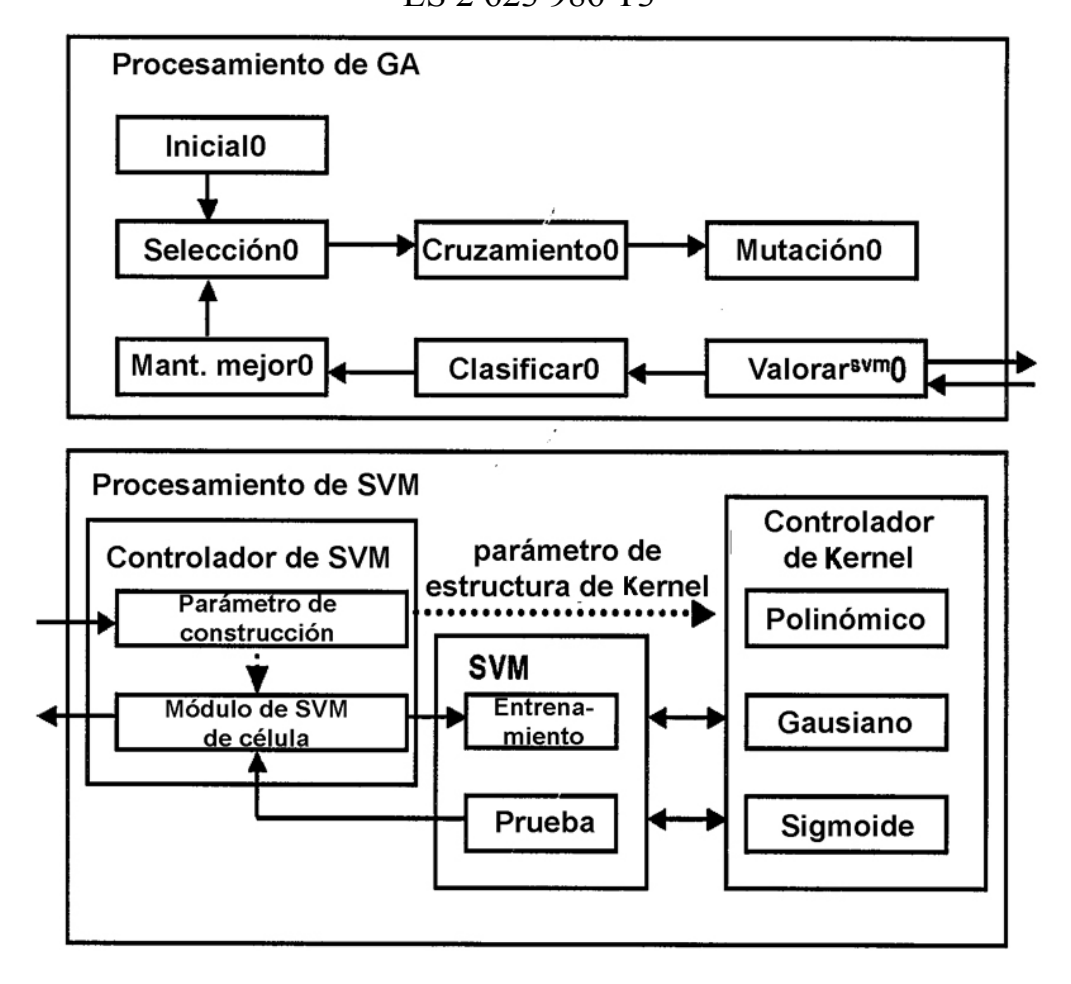


El algoritmo genético está creando un modelo de ingeniería a partir de sistemas genéticos y evolutivos del mundo natural, que está abordando la capacidad de adaptación de una vida al entorno. Las posibles soluciones para una cuestión se expresan de forma determinada y entonces se modifican gradualmente para producir soluciones más valiosas. En particular, un algoritmo genético es un tipo de algoritmo de optimización para buscar un valor x calculando el valor máximo o el valor mínimo de la función f(x) contra la variante x definida en un área específica, lo más rápido posible. El algoritmo genético se compone de las siguientes etapas: determinar el genotipo que codifica para y convierte factores genéticos en una serie de símbolos; determinar el grupo genético inicial para generar diversos individuos que tienen diferentes características a partir del genotipo definido anterior; evaluar la adaptación de cada individuo para calcular la adaptación según el método predefinido; seleccionar individuos basándose en la adaptación evaluada con el fin de determinar la distribución de supervivencia de los individuos; aparear sustituyendo un gen entre dos cromosomas para generar un nuevo individuo; mutar modificando una parte de un gen y maximizar la diversidad del grupo genético para preparar individuos que proporcionen mejores soluciones; y volver a la etapa de evaluar la adaptación de cada individuo. El algoritmo genético facilita la búsqueda de soluciones según la manipulación genética cooperativa sobre la selección, apareamiento, etc., entre múltiples individuos. Por tanto, en comparación con el método de examen paralelo convencional para soluciones, el algoritmo genético es fácil y sencillo para soluciones de examen.

El proceso de vinculación de GA con SVM es tal como sigue.

5

10



Entre los datos de proteoma obtenidos de 311 voluntarios (pacientes con cáncer de estómago; 143, personas sanas normales; 168), se seleccionaron aleatoriamente 100 de los pacientes con cáncer de estómago y las personas normales y formaron un grupo de entrenamiento y un grupo de evaluación (véase la tabla 2). Los datos del grupo de entrenamiento de 200 personas se aplicaron al algoritmo genético (GA) vinculado a máquina de vectores de soporte (SVM) (véase la patente coreana n.º 10-2002-0067298 "Method and System for Analysis of Cancer Biomarkers Using Proteome Image Mining") y como resultado se encontraron 9 marcadores para diagnosticar cáncer de estómago y se construyó una base de datos. Se calcularon los valores medios de pacientes con cáncer y personas normales con cada punto en la base de datos, que luego se compararon. Se realizó una prueba de la t para calcular el valor de p de cada grupo y 9 puntos mostraron diferencias significativas en la expresión (véase la tabla 3).

Se realizaron validación cruzada y bosque aleatorio (*random forest*), otras técnicas de bioinformática, con las proteínas del grupo de entrenamiento. Como resultado, el índice de decisión de cáncer de estómago (sensibilidad – diagnosticar un paciente con cáncer como cáncer; especificidad – diagnosticar una persona normal como normal) fue alto según el método de la invención. Se obtuvo de nuevo el bosque aleatorio con los datos de 111 personas restantes que no se habían incluido en el grupo de entrenamiento (pacientes con cáncer de estómago: 43, personas sanas normales: 68), y como resultado dos algoritmos mostraron hasta un 80% exactitud de diagnóstico. Por tanto, se confirmó que 9 proteínas marcadoras candidatas para diagnosticar cáncer de estómago eran muy útiles. Para apoyar el resultado, se realizó inmunotransferencia y el resultado fue coherente, es decir, los candidatos de proteína marcadora mostraron diferencias significativas en el nivel de expresión entre sueros normales y sueros de pacientes con cáncer de estómago.

Los datos de 143 pacientes con cáncer de estómago totales (grupo de entrenamiento: 100, grupo de evaluación: 43) se dividieron por estadio de cáncer y se investigaron las expresiones de estas 9 proteínas según el estadio. Tal como se muestra en la figura 3, cada proteína mostró expresiones diferentes según el estadio. Las expresiones de alfa-2-glicoproteína rica en leucina (LRG), clusterina, alfa-1-antitripsina, proapolipoproteína A-I, haptoglobina beta, haptoglobina alfa-2 y apolipoproteína H fueron superiores en pacientes con cáncer de estómago que en el grupo sano normal, mientras que las expresiones de apolipoproteína A-IV y transtiretina estaban reducidas en pacientes con cáncer de estómago. Por tanto, esas 9 proteínas marcadoras están asociadas presumiblemente con la progresión de cáncer de estómago, lo que apoya la capacidad de uso de estas proteínas como biomarcadores para diagnosticar cáncer de estómago.

Los marcadores de la presente solicitud facilitan los métodos de examen, concretamente proteomas de sueros diana que iban a investigarse para detectar cáncer de estómago se introdujeron y se cambiaron para dar una imagen bidimensional, que entonces se comparó con la muestra que tiene el patrón de proteína marcadora específica de enfermedad. O bien se compararon las expresiones de estas proteínas marcadoras en los sueros diana con las de sueros normales, y estas expresiones se transformaron en valores numéricos. A partir de la comparación de estos valores, pudo valorarse si el suero diana es normal o con cáncer.

La presente solicitud también proporciona el uso de la proteína seleccionada del grupo que consiste en alfa-2-glicoproteína rica en leucina (LRG), clusterina, alfa-1-antitripsina, apolipoproteína A-IV, transtiretina, proapolipoproteína A-I, haptoglobina beta, haptoglobina alfa-2 y apolipoproteína H como marcador para diagnosticar cáncer de estómago.

Las 9 proteínas anteriores pueden usarse como marcadores para diagnosticar cáncer de estómago puesto que se confirmó que estaban asociadas con progresión de cáncer de estómago.

La presente solicitud proporciona además un kit de diagnóstico para cáncer de estómago que contiene reactivo de captura primario que se une a uno o más marcadores para diagnosticar cáncer de estómago seleccionados del grupo que consiste en alfa-2-glicoproteína rica en leucina (LRG), clusterina, alfa-1-antitripsina, apolipoproteína A-IV, transtiretina, proapolipoproteína A-I, haptoglobina beta, haptoglobina alfa-2 y apolipoproteína H; y reactivo de captura secundario que no se une al primer reactivo de captura.

El kit de diagnóstico puede usarse para detectar uno o más marcadores de la invención que muestran expresiones diferentes en pacientes con cáncer de estómago. El kit de diagnóstico de la presente invención facilita no sólo el diagnóstico de cáncer por un médico, sino también la monitorización de la respuesta tras la atención de un paciente, con el fin de modificar el tratamiento. El kit también puede usarse para identificar un compuesto que regula la expresión *in vivo* o *ex vivo* de uno o más marcadores en modelos de cáncer de estómago (por ejemplo: modelos animales tales como ratones, ratas, etc.).

El reactivo de captura primario es un anticuerpo o un quelato metálico, más preferiblemente un anticuerpo. El reactivo de captura secundario es un conjugado marcado con una enzima de color, una fluoresceína, un radioisótopo o un coloide, que actúa como anticuerpo secundario. La enzima de color puede ser peroxidasa, fosfatasa alcalina o fosfatasa ácida (antes: peroxidasa de rábano). La fluoresceína puede ser ácido carboxílico de fluoresceína (FCA), isotiocianato de fluoresceína (FITC), tiourea de fluoresceína (FTH), 7-acetoxicumarin-3-ilo, fluorescein-5-ilo, fluorescein-6-ilo, 2',7'-diclorofluorescein-6-ilo, dihidrotetrametilrosamin-4-ilo, tetrametilrodamin-5-ilo, 4,4-difluoro-5,7-dimetil-4-bora-3a,4a-diaza-s-indacen-3-etilo o 4,4-difluoro-5,7-difenil-4-bora-3a,4a-diaza-s-indacen-3-etilo.

Cuando se expone la muestra de un paciente en el reactivo de captura primario, preferiblemente un anticuerpo específico de marcador, puede diluirse la muestra antes de exponerse al anticuerpo y el anticuerpo puede fijarse en una fase sólida con el fin de usarse en las siguientes fases, incluyendo lavado o separación compleja, etc. La fase sólida puede ser vidrio o plástico tal como placa de microtitulación, varilla, perla o microperla, etc. El anticuerpo puede unirse a un sustrato de sonda o a un chip proteico. Tras incubar la muestra con el anticuerpo, se lavó la muestra y se incubó con el reactivo de captura secundario, preferiblemente un anticuerpo secundario para medir el complejo anticuerpo-marcador. La medición o detección del complejo anticuerpo-marcador puede realizarse mediante uno de los procedimientos de fluorescencia, luminiscencia, quimioluminiscencia, densidad óptica, reflexión y transmisión. Además de los métodos anteriores, pueden detectarse marcadores en la muestra mediante métodos indirectos tales como prueba de competencia o inhibición con un anticuerpo monoclonal que se une a otro epítopo del marcador.

El kit excluye un sustrato para reaccionar con una enzima y una proteína no unida, pero incluye disolución de lavado o eluyente que contiene biomarcadores unidos únicamente. Las muestras para el análisis incluyen suero, orina, lágrimas, saliva y otros materiales biológicos que contienen polipéptido específico de la enfermedad. Preferiblemente, las muestras son muestras de líquidos biológicos tales como sangre, suero y plasma, y más preferiblemente suero. Las muestras pueden prepararse con el fin de aumentar la sensibilidad de detección del marcador. Por ejemplo, los sueros obtenidos de pacientes pueden tratarse previamente mediante cromatografía de intercambio aniónico, cromatografía de afinidad, cromatografía de exclusión molecular, cromatografía de líquidos, extracción secuencial o electroforesis en gel.

[Descripción de los dibujos]

5

10

15

20

35

40

45

50

55

La aplicación de las realizaciones preferidas de la presente invención se entiende mejor con referencia a los dibujos adjuntos, en los que:

La figura 1 es un conjunto de fotografías que ilustran la imagen completa del proteoma de suero representativo observado en electroforesis en gel bidimensional y la concentración de urea óptima para la electroforesis en gel bidimensional.

1: imagen completa de electroforesis en gel bidimensional

2: urea 8 M

5

3: tiourea 2 M/urea 7

La figura 2 es un conjunto de fotografías que ilustran las proteínas que muestran expresiones diferentes en pacientes con cáncer, en comparación con personas sanas normales, detectadas mediante electroforesis en gel bidimensional.

La figura 3 es un conjunto de gráficos que ilustran la expresión de proteínas dependiente del estadio de cáncer de estómago.

- A: Haptoglobina beta
- B: Haptoglobina alfa
- 10 C: Alfa-2-glicoproteína rica en leucina (LRG)
 - D: A1 antitripsina
 - E: Proapolipoproteína A-I
 - F: Apolipoproteína H
 - G: Clusterina
- 15 H: Apolipoproteína A-IV
 - I: Transtiretina

La figura 4 es un conjunto de fotografías que ilustran los niveles de expresión de proteínas marcadoras en pacientes con cáncer de estómago que son diferentes de los de personas sanas normales, detectados mediante inmunotransferencia.

- 20 NS: Suero normal
 - SC: Suero de cáncer de estómago

Haptoglobina beta

- 1. Marcador
- 2. NS 0,08 μl
- 25 3. SC 0,08 μl

Haptoglobina alfa

- 1. his-Hp α 2 50 ng
- 2. NS 0,04 μl
- 3. SC 0,04 μl
- 30 4. NS 0,08 μl
 - 5. SC 0,08 μl
 - 6. Haptoglobina 50 ng
 - 7. Marcador

Transtiretina

- 35 1. Marcador
 - 2. NS 0,0016 μl
 - 3. SC 0,0016 μl
 - 4. NS 0,0032 μl

	5. SC	0,0032 μΙ
	6. NS	0,0064 μΙ
	7. SC	0,0064 μΙ
	8. NS	0,0128 μΙ
5	9. SC	0,0128 μl

Alfa-1-antitripsina

1. Marcador

10

15

20

25

30

35

2. NS	0,0064 μΙ
3. SC	0,0064 μΙ
4. NS	0,0096 μΙ
5. SC	0,0096 μΙ

6. a1 antitripsina 48 ng

[Modo para la invención]

Las realizaciones prácticas y preferidas actualmente de la presente invención son ilustrativas tal como se muestra en los siguientes ejemplos.

Ejemplo 1: Electroforesis en gel bidimensional

<1-1> Obtención de suero

Se obtuvo sangre periférica de pacientes con cáncer de estómago (143 personas) en el Departamento de Cirugía, Facultad de Medicina de la Universidad Nacional de Seúl, durante dos años y medio antes de que los pacientes se sometieran a cirugía y también se obtuvo sangre periférica normal obtenida de personas sanas normales (168 personas) que demostraron no tener cáncer de estómago mediante examen médico en el Green Cross Reference Lab. La sangre se obtuvo usando un tubo Vacutainer SST II (Becton Dickinson) y los sueros se separaron mediante centrifugación.

[Tabla 1]

-

Obtención de suero

sexo				edad						
hombre	mujer			20	30	40	50	60	70	
186	125		cáncer	1	11	21	40	45	25	143
		•	Normal	0	14	38	55	46	15	168

estadio					
	1	2	3	4	
cáncer	53	36	34	20	

Total 311 personas

<1-2> Optimización de las condiciones para electroforesis en gel bidimensional

<1-2-1> Establecimiento de método para electroforesis en gel bidimensional

Se comprobaron diversas condiciones experimentales para mostrar proteoma de suero. En primer lugar, la tira de gradiente de pH (IPG) inmovilizado (Amersham Bioscience) para IEF (isoelectroenfoque) tenía 13 cm de largo y el pH se fijó en el intervalo entre 4 y 7 considerando el tiempo experimental y la detección eficaz del proteoma de suero. Durante el IEF, los voltios-hora totales fueron 62.000 Vh, que se demostró que eran los voltios-hora óptimos. Se determinó que la cantidad de cada muestra para la carga era de 200 ug y la imagen completa generada en la electroforesis en gel bidimensional se muestra en la figura 1-1.

<1-2-2> Establecimiento de un método para el tratamiento de muestras

Para determinar la composición óptima del tampón de rehidratación usado para el análisis del proteoma de suero, se

compararon el estado con urea 8 M (Sigma) (figura 1-2) y el estado con urea 7 M /tiourea 2 M (Sigma) (figura 1-3). Como resultado, cuando se usó tiourea, a menudo se observaron rayas verticales, lo que dificultaba el análisis de manchas. Por tanto, se determinó que el estado óptimo para el tampón era urea 8 M (figura 1-2).

<1-2-3> Establecimiento de un método para tinción de proteínas

La tinción con plata es un método de tinción para detectar una pequeña cantidad de proteína, que se ha usado con frecuencia en los laboratorios. Sin embargo, debido a la dificultad en la reproducibilidad y al enlace covalente entre el glutaraldehído de un reactivo con una proteína diana, este método no puede usarse para espectrometría de masas MALDI-TOF. Para superar estos problemas, los presentes inventores minimizaron las desviaciones del procedimiento de tinción manteniendo estrictamente el volumen de la disolución y el tiempo de reacción recomendados. Para construir una base de datos de imágenes, los presentes inventores tiñeron la proteína con SyproRuby (Molecular Probe) que mostraba reproducibilidad y resultados cuantitativos excelentes.

<1-3> Electroforesis en gel bidimensional

Se cargaron 200 µg de proteína de suero en disolución de SDS al 2% (Sigma)/ditiotreitol 100 mM (DTT, Sigma), seguido por calentamiento a 95°C durante 5 minutos. Se cargó la disolución en disolución de rehidratación (urea 8 M, CHAPS al 4% (Sigma), DTT 50 mM, tampón IPG al 0,5% (Amersham Bioscience)), seguido por agitación. Se realizó centrifugación a temperatura ambiente para separar el sobrenadante. Se realizó IEF (isoelectroenfoque) con el sistema IPGphor (Amersham Biosciences) usando la tira de gradiente de pH inmovilizado (IPG) (pH 4-7, 13 cm Amersham Bioscience). Se realizó SDS-PAGE mediante electroforesis vertical usando gel de poliacrilamida al 12,5%. Tras la finalización de la electroforesis, se tiñeron las proteínas con SyproRuby (Molecular Probe), seguido por detección. Se analizaron las imágenes de gel de la electroforesis en gel bidimensional mediante el programa PDQuest (Bio-Rad).

Ejemplo 2: Construcción de base de datos de imágenes

Para determinar las condiciones óptimas, se regularon diversos factores tales como filtración de imágenes, eliminación de fondo, eliminación de rayas verticales irregulares, eliminación de rayas horizontales irregulares y detección de variantes de mancha. Se detectaron manchas en las imágenes y entonces se analizaron de manera precisa 110 manchas que pudieron distinguirse específicamente. Se normalizaron las desviaciones generadas durante la medición de la muestra o las desviaciones mecánicas generadas durante la obtención de las imágenes dividiendo la cantidad de cada mancha entre la suma de todas las manchas, con el fin de regular la oscuridad de la imagen de electroforesis en gel bidimensional producida no por la diferencia en la expresión de proteínas sino por otros factores.

Ejemplo 3: Análisis de bioinformática

Para examinar una proteína marcadora en suero, que se asocia con cáncer de estómago, se realizó análisis de bioinformática.

Tal como se muestra en la tabla 1, se seleccionaron aleatoriamente 100 personas de cada uno del grupo de pacientes con cáncer de estómago y el grupo de personas sanas normales de los datos de proteoma de las 311 personas totales (pacientes con cáncer de estómago 143 y personas sanas normales 168) para formar un grupo de entrenamiento. Los datos del grupo de entrenamiento de las 200 personas seleccionadas se vincularon con la máquina de vectores de soporte (SVM) y el algoritmo genético (GA) (véase la patente coreana n.º 10-2002-0067298 "Method and System for Analysis of Cancer Biomarkers Using Proteome Image Mining") para examinar los candidatos de proteína marcadora para diagnosticar cáncer de estómago (tabla 3).

Se sometieron a prueba los datos de las 111 personas restantes no incluidas en el grupo de entrenamiento (pacientes con cáncer de estómago 43 y personas sanas normales 68) para confirmar la capacidad de uso de estos candidatos de proteína marcadora seleccionados del entrenamiento como marcador de diagnóstico para el cáncer de estómago. Cada fase experimental se describe en más detalle a continuación en el presente documento.

45 [Tabla 2]

15

20

25

30

35

40

Distribución de sexo, edad y estadio

(A)	grupo de entrenamiento	sexo				edad						
	onti onamionto	hombre	mujer			20	30	40	50	60	70	
		121	79		cáncer	1	6	12	24	36	21	100
				•	normal	0	7	27	27	27	12	100
							_					_
		estadio										
			1	2	3	4						
		cáncer	42	23	23	12	100					

(B)	grupo evaluación	de	Sexo				edad						
			hombre	mujer			20	30	40	50	60	70	
			65	46		cáncer	0	5	9	16	9	4	43
		•			•'	normal	0	7	11	28	19	3	68
								_					-
			estadio										
				1	2	3	4						
			cáncer	11	13	11	8	43					

Total 311 personas

*Las distribuciones de sexo y edad de personas sanas normales y pacientes con cáncer de estómago que se ofrecieron voluntarios para el análisis de datos anteriores se presentaron según el grupo de entrenamiento (A, 200 personas) y el grupo de evaluación (B, 111 personas).

<3-1> Selección de proteína marcadora mediante SVM/GA

Para examinar proteínas marcadoras que faciliten la distinción del grupo de cáncer de estómago del grupo sano normal, se vincularon datos de proteoma de 100 pacientes con cáncer de estómago y 100 personas sanas normales con la máquina de vectores de soporte (V. N. Vapnik *et. al.*, Theory of Support Vector Machines, Technical Report CSD-TR-96-17, Univ. de Londres, 1996.) y algoritmo genético seguido por entrenamiento. Como resultado, se examinaron puntos óptimos (9) que serían marcadores para cáncer de estómago debido a su alto resultado de entrenamiento (sensibilidad: 91% y especificidad: 97%).

<3-2> Prueba de la t

5

10

15

20

35

Se realizó la prueba de la t para determinar si la diferencia de expresión de la proteína marcadora para diagnosticar cáncer de estómago examinada en el ejemplo anterior entre personas sanas normales y pacientes con cáncer de estómago era suficientemente significativa como para determinar la proteína como marcador. En particular, se compararon los valores medios de expresiones entre pacientes con cáncer de estómago y personas sanas normales mediante el uso del programa SAS (Statistical Analysis System Institute Inc.) y se obtuvieron los valores de p. Cuando p<0,05, se consideró que la diferencia era estadísticamente significativa. Tal como se muestra en la tabla 3, la prueba de la t confirmó que se habían examinado 9 puntos sugiriendo que eran las proteínas que muestran diferencias significativas en los niveles de expresión entre personas sanas normales y pacientes con cáncer de estómago.

[Tabla 3]

Proteína marcadora	LRG	Clusterina	Alfa-1- antitripsina	Apolipoproteína A-IV	Transtiretina
Prueba de la t	1,32 E-07	4,24 E-02	3,12 E-05	3,82 E-05	6,41 E-07
	Proapolipoproteína	Haptoglobina	Haptoglobina	Apolipoproteína	
	A-I	beta	alfa-2	Н	
	3,85 E-08	1,16 E-07	3,85 E-14	3,32 E-04	

<3-3> Diagnóstico mediante bosque aleatorio

Las candidatos de proteína marcadora para diagnosticar cáncer de estómago, examinados mediante SVM/GA en el ejemplo anterior, se aplicaron a bosque aleatorio (los resultados de múltiples determinantes de tres clasificaciones se integraron según la regla de la mayoría, que sería el resultado clasificado final, L. Breiman, "Random forests", Machine Learning, Vol. 45. Número 1, octubre de 2001), otro algoritmo de bioinformática. El resultado fue coherente con el obtenido mediante el análisis de SVM/GA anterior, es decir, el grupo de entrenamiento igual de 200 personas también mostró alto índice de decisión del 80,0% (sensibilidad del 78% y especificidad del 82%).

<3-4> Validación cruzada

Para investigar errores del grupo de entrenamiento seleccionado al azar, se realizó validación cruzada mediante validación dejando uno fuera (un método para suponer errores generalizados, en el que se dividieron los datos en subconjuntos k del mismo tamaño y se determinó que grupos k-1 eran un grupo de entrenamiento y se determinó que el restante era un grupo de evaluación y este experimento de clasificación se realizó k veces y se calculó el error promedio según k veces). Como resultado, el índice de decisión fue del 81,5% (sensibilidad del 78% y especificidad del 85%).

<3-5> Identificación de las proteínas seleccionadas

Se recogió cada mancha en el gel de electroforesis bidimensional y se colocó en un tubo que contenía agua destilada, seguido por digestión con tripsina en gel, dando como resultado péptidos. Lospéptidos se sometieron a prueba en el Instituto de Ciencias Básicas de Corea, Taejon, Corea. Se analizaron las proteínas mediante MALDITOF-TOF (ABI 4700 Proteomics Analyzer) y se examinaron los espectros mediante huella de masa peptídica y el programa MS/MS ion search a partir de la base de datos para identificar las proteínas (Michael O. Glocker et al., Proteomics, 4: 3921-3032, 2004).

<3-6> Verificación de las proteínas seleccionadas

Para confirmar la competencia de los candidatos de proteína marcadora seleccionados para diagnosticar cáncer de estómago para distinguir muestras de cáncer de normales, se realizó bosque aleatorio esta vez sin el proteoma del grupo de entrenamiento sino con el proteoma del grupo de evaluación (111 personas que no se incluyeron en el grupo de entrenamiento; 43 pacientes con cáncer de estómago, 68 personas sanas normales). A partir del resultado del algoritmo de la máquina de vectores de soporte se confirmó que los candidatos de proteína marcadora tenían una sensibilidad del 81,39% y una especificidad del 77,94%. El algoritmo de bosque aleatorio dio el resultado de que los candidatos de proteína marcadora tuvieran una sensibilidad del 86,05% y una especificidad del 82,35%. Dos algoritmos diferentes demostraron de manera coherente que los candidatos tenían una alta sensibilidad de aproximadamente el 80%, lo que sugiere que estos candidatos son muy útiles como proteínas marcadoras.

Ejemplo 4: Verificación de proteínas marcadoras para diagnosticar cáncer de estómago - inmunotransferencia

Para investigar los niveles de expresión de proteínas marcadoras para diagnosticar cáncer de estómago en sueros normales y en sueros de pacientes con cáncer de estómago, se prepararon muestras agrupadas de suero de 50 personas de cada grupo: personas sanas normales y pacientes con cáncer de estómago, seguido por inmunotransferencia usando un anticuerpo contra cada proteína. Como resultado, tal como se muestra en la figura 4, los niveles de proteína marcadora en los sueros de pacientes con cáncer de estómago estaban aumentados o reducidos, en comparación con los de los sueros normales (figura 4).

1) Alfa-1-antitripsina

10

15

20

35

50

Se diluyó suero humano con agua destilada y tampón de muestra 5x (0,0016 ul de suero/1 ul de muestra), que se cargó en SDS-PAGE al 12% a diferentes volúmenes de 1, 2, 4 y 6 ul. Se cargaron 48 ng de alfa-1-antripsina (Sigma) como control positivo, seguido por electroforesis con 25 mA. Se realizó inmunotransferencia de tipo Western. En particular, se transfirió el gel sobre una membrana de PVDF, seguido por bloqueo con el 5% de leche desnatada/PBST (Tween 20 al 0,05%). Se trató la membrana con anticuerpo frente a alfa-1-antitripsina (IgY de pollo, Abcam) diluido (1:10000) en el 5% de leche desnatada/PBST (tratamiento primario) y anticuerpo anti-IgY de pollo-HRP (1:20000, Abcam) (tratamiento secundario).

2) Haptoglobina alfa

Se diluyó suero humano (0,04 ul de suero/1 ul de muestra), que se cargó en SDS-PAGE. Se cargaron His-Hp $\alpha 2$ purificada y 50 ng de haptoglobina (Sigma) como control positivo. Se trató con anticuerpo policlonal antihaptoglobina alfa (1:1000) como anticuerpo primario y con anticuerpo anti-lgG de conejo-HRP (1:20000, Sigma) como anticuerpo secundario. Se preparó el anticuerpo policlonal anti-haptoglobina alfa usado como anticuerpo primario inyectando his-haptoglobina alfa 2 recombinante en un conejo, que facilitó el Centro Médico Asan, Seúl, Corea. (his-Hp: proteína de fusión recombinante marcada con histidina de haptoglobina)

3) Haptoglobina beta

40 Se diluyó suero humano (0,04 ul de suero/1 ul de muestra), que se cargó en SDS-PAGE. Se trató con anticuerpo policional anti-haptoglobina (1:5000, Sigma) como anticuerpo primario y con anticuerpo anti-lgG de ratón-HRP (1:20000, Sigma) como anticuerpo secundario.

4) Transtiretina

Se diluyó suero humano (0,0016 ul de suero/1 ul de muestra), que se cargó en SDS-PAGE. Se trató con anticuerpo policional anti-transtiretina (1:1000, Dakocytomation, Inc.) como anticuerpo primario y con anticuerpo anti-IgG de conejo-HRP (1:20000, Sigma) como anticuerpo secundario.

5) Proapolipoproteína A-I

La proapolipoproteína A-I es el precursor de la apolipoproteína A-I en la que se han retirado 7 aminoácidos en el extremo N-terminal. No pudo obtenerse ni construirse un anticuerpo que pudiera distinguir proapolipoproteína A-1 de apolipoproteína A-1, y por tanto fue imposible de detectar mediante inmunotransferencia de tipo Western.

Ejemplo 5: Expresión de la proteína marcadora seleccionada según el estadio de cáncer

Se dividieron 143 pacientes con cáncer de estómago totales (grupo de entrenamiento-100, grupo de evaluación-43) por el estadio (1-4) y se investigaron las expresiones de 9 proteínas marcadoras según el estadio. En particular, los

datos de los pacientes con cáncer de estómago se dividieron en 4 grupos según el estadio (estadio 1-53, estadio 2-36, estadio 3-34 y estadio 4-20). Se calculó el valor medio de las expresiones de estas 9 proteínas para cada grupo, lo que se dividió entre el valor medio de las expresiones de estas 9 proteínas en las 168 personas sanas normales (figura 3). Un valor numérico resultante mayor de 1 indica que las expresiones de estas proteínas marcadoras están aumentadas en pacientes con cáncer de estómago, mientras que un valor numérico menor de 1 indica lo contrario. Como resultado, las expresiones de alfa-2-glicoproteína rica en leucina (LRG), clusterina, alfa-1-antitripsina, proapolipoproteína A-I, haptoglobina beta, haptoglobina alfa-2 y apolipoproteína H aumentaban en pacientes con cáncer de estómago a medida que el cáncer progresaba. Mientras, las expresiones de apolipoproteína A-IV y transtiretina se reducían en pacientes con cáncer de estómago a medida que el cáncer progresaba. Es decir, las expresiones de estas 9 proteínas marcadoras difieren entre normal y cáncer de estómago y según el estadio, lo que indica que estos marcadores muestran patrones de expresión característicos, aumentan o disminuyen según el estadio de cáncer. En conclusión, los marcadores para diagnosticar cáncer de estómago y según el estadio de cáncer.

[Aplicabilidad industrial]

10

15

20

Las proteínas marcadoras para diagnosticar cáncer de estómago de la presente invención y un kit de diagnóstico que usa las mismas facilitan el diagnóstico temprano de cáncer de estómago comprobando simplemente sus expresiones en líquido corporal y facilitan de ese modo una rápida respuesta para el tratamiento. Por tanto, se espera que las proteínas marcadoras puedan contribuir a la mejora de la tasa de supervivencia de pacientes con cáncer de estómago desarrollado aproximadamente en al menos 20.000 pacientes/año y a reducir los costes de la atención sanitaria nacional por el tratamiento del cáncer.

[Texto de lista de secuencias]

```
SEQ. ID. NO: 1 es la secuencia polipeptídica de alfa-2-glicoproteína rica en leucina (LRG).
```

SEQ. ID. NO: 2 es la secuencia polipeptídica de clusterina.

25 SEQ. ID. NO: 3 es la secuencia polipeptídica de alfa-1-antitripsina.

SEQ. ID. NO: 4 es la secuencia polipeptídica de apolipoproteína A-IV.

SEQ. ID. NO: 5 es la secuencia polipeptídica de transtiretina (prealbúmina).

SEQ. ID. NO: 6 es la secuencia polipeptídica de proapolipoproteína A-I.

SEQ. ID. NO: 7 es la secuencia polipeptídica de haptoglobina beta.

30 SEQ. ID. NO: 8 es la secuencia polipeptídica de haptoglobina alfa-2.

SEQ. ID. NO: 9 es la secuencia polipeptídica de apolipoproteína H.

<110> bio-infra

<120> Marcadores proteicos para diagnosticar cáncer de estómago y kit de diagnóstico que usa los mismos

<130> 6fpo-11-33

<150> Documento KR2006-19517

<151> 28-02-2006

40 <160> 9

35

<170> KopatentIn 1,71

45 <210> 1

<211> 312

<212> PRT

<213> Alfa-2-glicoproteína rica en leucina (LRG)

50 <400> 1

Val 1	Thr	Leu	Ser	Pro 5	Lys	Asp	Cys	Gln	Val 10	Phe	Arg	Ser	Asp	His 15	Gly
Ser	Ser	Ile	Ser 20	Cys	Gln	Pro	Pro	Ala 25	Glu	Ile	Pro	Gly	Tyr 30	Leu	Pro
Ala	Asp	Thr 35	Val	His	Leu	Ala	Val 40	Glu	Phe	Phe	Asn	Leu 45	Thr	His	Leu
Pro	Ala 50	Asn	Leu	Leu	Gln	Gly 55	Ala	Ser	Lys	Leu	Gln 60	Glu	Leu	His	Leu
Ser 65	Ser	Asn	Gly	Leu	Glu 70	Ser	Leu	Ser	Pro	Glu 75	Phe	Leu	Arg	Pro	Val 80
Pro	Gln	Leu	Arg	Val 85	Leu	Asp	Leu	Thr	Arg 90	Asn	Ala	Leu	Thr	Gly 95	Leu
Pro	Pro	Gly	Leu 100	Phe	Gln	Ala	Ser	Ala 105	Thr	Leu	Asp	Thr	Leu 110	Val	Leu
Lys	Glu	Asn 115	Gln	Leu	Glu	Val	Leu 120	Glu	Val	Ser	Trp	Leu 125	His	Gly	Leu
Lys	Ala 130	Leu	Gly	His	Leu	Asp 135	Leu	Ser	Gly	Asn	Arg 140	Leu	Arg	Lys	Leu
Pro 145	Pro	Gly	Leu	Leu	Ala 150	Asn	Phe	Thr	Leu	Leu 155	Arg	Thr	Leu	Asp	Leu 160
Gly	Glu	Asn	Gln	Leu 165	Glu	Thr	Leu	Pro	Pro 170	Asp	Leu	Leu	Arg	Gly 175	Pro
Leu	Gln	Leu	Glu 180	Arg	Leu	His	Leu	Glu 185	Gly	Asn	Lys	Leu	Gln 190	Val	Leu
Gly	Lys	Asp 195	Leu	Leu	Leu	Pro	Gln 200	Pro	Asp	Leu	Arg	Tyr 205	Leu	Phe	Leu
Asn	Gly 210	Asn	Lys	Leu	Ala	Arg 215	Val	Ala	Ala	Gly	Ala 220	Phe	Gln	Gly	Leu
Arg	Gln	Leu	Asp	Met	Leu	Asp	Leu	Ser	Asn	Asn	Ser	Leu	Ala	Ser	Val

Pro Glu Gly Leu Trp Ala Ser Leu Gly Gln Pro Asn Trp Asp Met Arg Asp Gly Phe Asp Ile Ser Gly Asn Pro Trp Ile Cys Asp Gln Asn Leu Ser Asp Leu Tyr Arg Trp Leu Gln Ala Gln Lys Asp Lys Met Phe Ser Gln Asn Asp Thr Arg Cys Ala Gly Pro Glu Ala Val Lys Gly Gln Thr Leu Leu Ala Val Ala Lys Ser Gln <210> 2 <211> 427 <212> PRT <213> Clusterina <400> 2

Asp 1	Gln	Thr	Val	Ser 5	Asp	Asn	Glu	Leu	Gln 10	Glu	Met	Ser	Asn	Gln 15	Gly
Ser	Lys	Tyr	Val 20	Asn	Lys	Glu	Ile	Gln 25	Asn	Ala	Val	Asn	Gly 30	Val	Lys
Gln	Ile	Lys 35	Thr	Leu	Ile	Glu	Lys 40	Thr	Asn	Glu	Glu	Arg 45	Lys	Thr	Leu
Leu	Ser 50	Asn	Leu	Glu	Glu	Ala 55	Lys	Lys	Lys	Lys	Glu 60	Asp	Ala	Leu	Asn
Glu 65	Thr	Arg	Glu	Ser	Glu 70	Thr	Lys	Leu	Lys	Glu 75	Leu	Pro	Gly	Val	Cys 80
Asn	Glu	Thr	Met	Met 85	Ala	Leu	Trp	Glu	Glu 90	Cys	Lys	Pro	Cys	Leu 95	Lys
Gln	Thr	Cys	Met 100	Lys	Phe	Tyr	Ala	Arg 105	Val	Cys	Arg	Ser	Gly 110	Ser	Gly
Leu	Val	Gly 115	Arg	Gln	Leu	Glu	Glu 120	Phe	Leu	Asn	Gln	Ser 125	Ser	Pro	Phe
Tyr	Phe 130	Trp	Met	Asn	Gly	Asp 135	Arg	Ile	Asp	Ser	Leu 140	Leu	Glu	Asn	Asp
Arg 145	Gln	Gln	Thr	His	Met 150	Leu	Asp	Val	Met	Gln 155	Asp	His	Phe	Ser	Arg 160
Ala	Ser	Ser	Ile	Ile 165	Asp	Glu	Leu	Phe	Gln 170	Asp	Arg	Phe	Phe	Thr 175	Arg
Glu	Pro	Gln	Asp 180	Thr	Tyr	His	Tyr	Leu 185	Pro	Phe	Ser	Leu	Pro 190	His	Arg
Arg	Pro	His 195	Phe	Phe	Phe	Pro	Lys 200	Ser	Arg	Ile	Val	Arg 205	Ser	Leu	Met

Pro Phe Ser Pro Tyr Glu Pro Leu Asn Phe His Ala Met Phe Gln Pro Phe Leu Glu Met Ile His Glu Ala Gln Gln Ala Met Asp Ile His Phe His Ser Pro Ala Phe Gln His Pro Pro Thr Glu Phe Ile Arg Glu Gly Asp Asp Asp Arg Thr Val Cys Arg Glu Ile Arg His Asn Ser Thr Gly Cys Leu Arg Met Lys Asp Gln Cys Asp Lys Cys Arg Glu Ile Leu Ser Val Asp Cys Ser Thr Asn Asn Pro Ser Gln Ala Lys Leu Arg Arg Glu Leu Asp Glu Ser Leu Gln Val Ala Glu Arg Leu Thr Arg Lys Tyr Asn Glu Leu Leu Lys Ser Tyr Gln Trp Lys Met Leu Asn Thr Ser Ser Leu Leu Glu Gln Leu Asn Glu Gln Phe Asn Trp Val Ser Arg Leu Ala Asn Leu Thr Gln Gly Glu Asp Gln Tyr Tyr Leu Arg Val Thr Thr Val Ala Ser His Thr Ser Asp Ser Asp Val Pro Ser Gly Val Thr Glu Val Val Val Lys Leu Phe Asp Ser Asp Pro Ile Thr Val Thr Val Pro Val Glu Val Ser Arg Lys Asn Pro Lys Phe Met Glu Thr Val Ala Glu Lys Ala Leu Gln Glu Tyr Arg Lys Lys His Arg Glu Glu

<210> 3

<211> 394

<212> PRT

<213> Alfa-1-antitripsina

<400> 3

Glu 1	_	Pro	Gln	_	Asp		Ala	Gln	Lys 10	Thr	Asp	Thr	Ser	His 15	His
Asp	Gln	Asp	His 20	Pro	Thr	Phe	Asn	Lys 25		Thr	Pro	Asn	Leu 30	Ala	Glu
Phe	Ala	Phe 35	Ser	Leu	Tyr	Arg	Gln 40	Leu	Ala	His	Gln	Ser 45	Asn	Ser	Thr
Asn	Ile 50	Phe	Phe	Ser	Pro	Val 55	Ser	Ile	Ala	Thr	Ala 60	Phe	Ala	Met	Leu
		_	Thr	_		_			_					_	

Asn	Phe	Asn	Leu	Thr 85	Glu	Ile	Pro	Glu	Ala 90	Gln	Ile	His	Glu	Gly 95	Phe
Gln	Glu	Leu	Leu 100	Arg	Thr	Leu	Asn	Gln 105	Pro	Asp	Ser	Gln	Leu 110	Gln	Leu
Thr	Thr	Gly 115	Asn	Gly	Leu	Phe	Leu 120	Ser	Glu	Gly	Leu	Lys 125	Leu	Val	Asp
Lys	Phe 130	Leu	Glu	Asp	Val	Lys 135	Lys	Leu	Tyr	His	Ser 140	Glu	Ala	Phe	Thr
Val 145	Asn	Phe	Gly	Asp	Thr 150	Glu	Glu	Ala	Lys	Lys 155	Gln	Ile	Asn	Asp	Tyr 160
Val	Glu	Lys	Gly	Thr 165	Gln	Gly	Lys	Ile	Val 170	Asp	Leu	Val	Lys	Glu 175	Leu
Asp	Arg	Asp	Thr 180	Val	Phe	Ala	Leu	Val 185	Asn	Tyr	Ile	Phe	Phe 190	Lys	Gly
Lys	Trp	Glu 195	Arg	Pro	Phe	Glu	Val 200	Lys	Asp	Thr	Glu	Glu 205	Glu	Asp	Phe
His	Val 210	Asp	Gln	Val	Thr	Thr 215	Val	Lys	Val	Pro	Met 220	Met	Lys	Arg	Leu
Gly 225	Met	Phe	Asn	Ile	Gln 230	His	Cys	Lys	Lys	Leu 235	Ser	Ser	Trp	Val	Leu 240
Leu	Met	Lys	Tyr	Leu 245	Gly	Asn	Ala	Thr	Ala 250	Ile	Phe	Phe	Leu	Pro 255	Asp
Glu	Gly	Lys	Leu 260	Gln	His	Leu	Glu	Asn 265	Glu	Leu	Thr	His	Asp 270	Ile	Ile
Thr	Lys	Phe 275		Glu	Asn		Asp 280		Arg	Ser	Ala	Ser 285	Leu	His	Leu
Pro	Lys 290	Leu	Ser	Ile	Thr	Gly 295	Thr	Tyr	Asp	Leu	Lys 300	Ser	Val	Leu	Gly
Gln 305	Leu	Gly	Ile	Thr	Lys 310	Val	Phe	Ser	Asn	Gly 315	Ala	Asp	Leu	Ser	Gly 320
Val	Thr	Glu	Glu	Ala 325	Pro	Leu	Lys	Leu	Ser 330	Lys	Ala	Val	His	Lys 335	Ala
Val	Leu	Thr	Ile 340	Asp	Glu	Lys	Gly	Thr 345	Glu	Ala	Ala	Gly	Ala 350	Met	Phe
Leu	Glu	Ala 355	Ile	Pro	Met	Ser	Ile 360	Pro	Pro	Glu	Val	Lys 365	Phe	Asn	Lys
Pro	Phe 370	Val	Phe	Leu	Met	Ile 375	Glu	Gln	Asn	Thr	Lys 380	Ser	Pro	Leu	Phe
Met 385	Gly	Lys	Val	Val	Asn 390	Pro	Thr	Gln	Lys						

<210> 4 <211> 376 <212> PRT <213> Apolipoproteína A-IV

<400> 4

Glu Val Ser Ala Asp Gln Val Ala Thr Val Met Trp Asp Tyr Phe Ser Gln Leu Ser Asn Asn Ala Lys Glu Ala Val Glu His Leu Gln Lys Ser Glu Leu Thr Gln Gln Leu Asn Ala Leu Phe Gln Asp Lys Leu Gly Glu Val Asn Thr Tyr Ala Gly Asp Leu Gln Lys Lys Leu Val Pro Phe Ala Thr Glu Leu His Glu Arg Leu Ala Lys Asp Ser Glu Lys Leu Lys Glu Glu Ile Gly Lys Glu Leu Glu Glu Leu Arg Ala Arg Leu Leu Pro His Ala Asn Glu Val Ser Gln Lys Ile Gly Asp Asn Leu Arg Glu Leu Gln Gln Arg Leu Glu Pro Tyr Ala Asp Gln Leu Arg Thr Gln Val Asn Thr 120 125 Gln Ala Glu Gln Leu Arg Arg Gln Leu Thr Pro Tyr Ala Gln Arg Met 135 Glu Arg Val Leu Arg Glu Asn Ala Asp Ser Leu Gln Ala Ser Leu Arg 150 155 Pro His Ala Asp Glu Leu Lys Ala Lys Ile Asp Gln Asn Val Glu Glu 165 170 Leu Lys Gly Arg Leu Thr Pro Tyr Ala Asp Glu Phe Lys Val Lys Ile 185 Asp Gln Thr Val Glu Glu Leu Arg Arg Ser Leu Ala Pro Tyr Ala Gln Asp Thr Gln Glu Lys Leu Asn His Gln Leu Glu Gly Leu Thr Phe Gln Met Lys Lys Asn Ala Glu Glu Leu Lys Ala Arg Ile Ser Ala Ser Ala 235 Glu Glu Leu Arg Gln Arg Leu Ala Pro Leu Ala Glu Asp Val Arg Gly 245 250 Asn Leu Lys Gly Asn Thr Glu Gly Leu Gln Lys Ser Leu Ala Glu Leu 265 Gly Gly His Leu Asp Gln Gln Val Glu Glu Phe Arg Arg Val Glu 275 Pro Tyr Gly Glu Asn Phe Asn Lys Ala Leu Val Gln Gln Met Glu Gln Leu Arg Gln Lys Leu Gly Pro His Ala Gly Asp Val Glu Gly His Leu

305 315 310 320 Ser Phe Leu Glu Lys Asp Leu Arg Asp Lys Val Asn Ser Phe Phe Ser 325 330 Thr Phe Lys Glu Lys Glu Ser Gln Asp Lys Thr Leu Ser Leu Pro Glu 340 345 350 Leu Glu Gln Gln Glu Gln Gln Glu Gln Gln Gln Gln Gln Gln Val 355 360 365 Gln Met Leu Ala Pro Leu Glu Ser 375 <210> 5 <211> 127 <212> PRT <213> Transtiretina (prealbúmina) <400>5 Gly Pro Thr Gly Thr Gly Glu Ser Lys Cys Pro Leu Met Val Lys Val Leu Asp Ala Val Arg Gly Ser Pro Ala Ile Asn Val Ala Val His Val Phe Arg Lys Ala Ala Asp Asp Thr Trp Glu Pro Phe Ala Ser Gly Lys 35 40 45 Thr Ser Glu Ser Gly Glu Leu His Gly Leu Thr Thr Glu Glu Glu Phe 50 55 60 Val Glu Gly Ile Tyr Lys Val Glu Ile Asp Thr Lys Ser Tyr Trp Lys 65 70 75 Ala Leu Gly Ile Ser Pro Phe His Glu His Ala Glu Val Val Phe Thr 85 90 Ala Asn Asp Ser Gly Pro Arg Arg Tyr Thr Ile Ala Ala Leu Leu Ser 100 105 110 Pro Tyr Ser Tyr Ser Thr Thr Ala Val Val Thr Asn Pro Lys Glu 115 120 125 <210> 6 <211> 249 <212> PRT <213> Proapolipoproteína A-I <400>6

10

Arg His Phe Trp Gln Gln Asp Glu Pro Pro Gln Ser Pro Trp Asp Arg Val Lys Asp Leu Ala Thr Val Tyr Val Asp Val Leu Lys Asp Ser Gly 20 25 Arg Asp Tyr Val Ser Gln Phe Glu Gly Ser Ala Leu Gly Lys Gln Leu Asn Leu Lys Leu Leu Asp Asn Trp Asp Ser Val Thr Ser Thr Phe Ser Lys Leu Arg Glu Gln Leu Gly Pro Val Thr Gln Glu Phe Trp Asp Asn 65 70 75 80 Leu Glu Lys Glu Thr Glu Gly Leu Arg Gln Glu Met Ser Lys Asp Leu 85 90 Glu Glu Val Lys Ala Lys Val Gln Pro Tyr Leu Asp Asp Phe Gln Lys 100 105 Lys Trp Gln Glu Glu Met Glu Leu Tyr Arg Gln Lys Val Glu Pro Leu Arg Ala Glu Leu Gln Glu Gly Ala Arg Gln Lys Leu His Glu Leu Gln 130 135 140 Glu Lys Leu Ser Pro Leu Gly Glu Glu Met Arg Asp Arg Ala Arg Ala 145 150 160 His Val Asp Ala Leu Arg Thr His Leu Ala Pro Tyr Ser Asp Glu Leu 165 170 175 Arg Gln Arg Leu Ala Ala Arg Leu Glu Ala Leu Lys Glu Asn Gly Gly 180 185 Ala Arg Leu Ala Glu Tyr His Ala Lys Ala Thr Glu His Leu Ser Thr Leu Ser Glu Lys Ala Lys Pro Ala Leu Glu Asp Leu Arg Gln Gly Leu 210 215 220 Leu Pro Val Leu Glu Ser Phe Lys Val Ser Phe Leu Ser Ala Leu Glu 225 230 235 240 Glu Tyr Thr Lys Lys Leu Asn Thr Gln 245

^{5 &}lt;210> 7

<211> 245

<212> PRT

<213> Haptoglobina beta

<400> 7

Ile Leu Gly Gly His Leu Asp Ala Lys Gly Ser Phe Pro Trp Gln Ala Lys Met Val Ser His His Asn Leu Thr Thr Gly Ala Thr Leu Ile Asn Glu Gln Trp Leu Leu Thr Thr Ala Lys Asn Leu Phe Leu Asn His Ser Glu Asn Ala Thr Ala Lys Asp Ile Ala Pro Thr Leu Thr Leu Tyr Val Gly Lys Lys Gln Leu Val Glu Ile Glu Lys Val Val Leu His Pro Asn Tyr Ser Gln Val Asp Ile Gly Leu Ile Lys Leu Lys Gln Lys Val Ser Val Asn Glu Arg Val Met Pro Ile Cys Leu Pro Ser Lys Asp Tyr Ala Glu Val Gly Arg Val Gly Tyr Val Ser Gly Trp Gly Arg Asn Ala Asn Phe Lys Phe Thr Asp His Leu Lys Tyr Val Met Leu Pro Val Ala Asp Gln Asp Gln Cys Ile Arg His Tyr Glu Gly Ser Thr Val Pro Glu Lys Lys Thr Pro Lys Ser Pro Val Gly Val Gln Pro Ile Leu Asn Glu His Thr Phe Cys Ala Gly Met Ser Lys Tyr Gln Glu Asp Thr Cys Tyr Gly Asp Ala Gly Ser Ala Phe Ala Val His Asp Leu Glu Glu Asp Thr Trp Tyr Ala Thr Gly Ile Leu Ser Phe Asp Lys Ser Cys Ala Val Ala Glu Tyr Gly Val Tyr Val Lys Val Thr Ser Ile Gln Asp Trp Val Gln Lys Thr Ile Ala Glu Asn

<210> 8 <211> 142 <212> PRT

	<213> Haptoglobina alfa-2															
	<400>	8														
	Val 1	Asp	Ser	Gly	Asn 5	Asp	Val	Thr	Asp	Ile 10	Ala	Asp	Asp	Gly	Cys 15	Pro
	Lys	Pro	Pro	Glu 20	Ile	Ala	His	Gly	Tyr 25	Val	Glu	His	Ser	Val 30	Arg	Tyr
	Gln	Cys	Lys 35	Asn	Tyr	Tyr	Lys	Leu 40	Arg	Thr	Glu	Gly	Asp 45	Gly	Val	Tyr
	Thr	Leu 50	Asn	Asp	Lys	Lys	Gln 55	Trp	Ile	Asn	Lys	Ala 60	Val	Gly	Asp	Lys
	Leu 65	Pro	Glu	Cys	Glu	Ala 70	Asp	Asp	Gly	Cys	Pro 75	Lys	Pro	Pro	Glu	Ile 80
	Ala	His	Gly	Tyr	Val 85	Glu	His	Ser	Val	Arg 90	Tyr	Gln	Cys	Lys	Asn 95	Tyr
	Tyr	Lys	Leu	Arg 100	Thr	Glu	Gly	Asp	Gly 105	Val	Tyr	Thr	Leu	Asn 110	Asn	Glu
	Lys	Gln	Trp 115	Ile	Asn	Lys	Ala	Val 120	Gly	Asp	Lys	Leu	Pro 125	Glu	Cys	Glu
5	Ala	Val	Cys	Gly	Lys	Pro	Lys	Asn	Pro	Ala	Asn	Pro	Val	Gln		
			13	30				1	35				1	40		
10	<210><211><211><212><213>	326	proteín	а Н												

<400> 9

15

Gly 1	Arg	Thr	Cys	Pro 5	Lys	Pro	Asp	Asp	Leu 10	Pro	Phe	Ser	Thr	Val 15	Val
Pro	Leu	Lys	Thr 20	Phe	Tyr	Glu	Pro	Gly 25	Glu	Glu	Ile	Thr	Tyr 30	Ser	Cys
Lys	Pro	Gly 35	Tyr	Val	Ser	Arg	Gly 40	Gly	Met	Arg	Lys	Phe 45	Ile	Cys	Pro
Leu	Thr 50	Gly	Leu	Trp	Pro	Ile 55	Asn	Thr	Leu	Lys	Cys 60	Thr	Pro	Arg	Val
Cys 65	Pro	Phe	Ala	Gly	Ile 70	Leu	Glu	Asn	Gly	Ala 75	Val	Arg	Tyr	Thr	Thr 80
Phe	Glu	Tyr	Pro	Asn 85	Thr	Ile	Ser	Phe	Ser 90	Cys	Asn	Thr	Gly	Phe 95	Tyr
Leu	Asn	Gly	Ala 100	Asp	Ser	Ala	Lys	Cys 105	Thr	Glu	Glu	Gly	Lys 110	Trp	Ser
Pro	Glu	Leu 115	Pro	Val	Cys	Ala	Pro 120	Ile	Ile	Cys	Pro	Pro 125	Pro	Ser	Ile
Pro	Thr 130	Phe	Ala	Thr	Leu	Arg 135	Val	Tyr	Lys	Pro	Ser 140	Ala	Gly	Asn	Asn
Ser 145	Leu	Tyr	Arg	Asp	Thr 150	Ala	Val	Phe	Glu	Cys 155	Leu	Pro	Gln	His	Ala 160
Met	Phe	Gly	Asn	Asp 165	Thr	Ile	Thr	Cys	Thr 170	Thr	His	Gly	Asn	Trp 175	Thr
Lys	Leu	Pro	Glu 180	Cys	Arg	Glu	Val	Lys 185	Cys	Pro	Phe	Pro	Ser 190	Arg	Pro
Asp	Asn	Gly 195	Phe	Val	Asn	Tyr	Pro 200	Ala	Lys	Pro	Thr	Leu 205	Tyr	Tyr	Lys
Asp	Lys 210	Ala	Thr	Phe	Gly	Cys 215	His	Asp	Gly	Tyr	Ser 220	Leu	Asp	Gly	Pro
Glu 225	Glu	Ile	Glu	Cys	Thr 230	Lys	Leu	Gly	Asn	Trp 235	Ser	Ala	Met	Pro	Ser 240
Cys	Lys	Ala	Ser	Cys 245	Lys	Val	Pro	Val	Lys 250	Lys	Ala	Thr	Val	Val 255	Tyr
Gln	Gly	Glu	Arg 260	Val	Lys	Ile	Gln	Glu 265	Lys	Phe	Lys	Asn	Gly 270	Met	Leu
His	Gly	Asp	Lys	Val	Ser	Phe	Phe	Cys	Lys	Asn	Lys	Glu	Lys	Lys	Cys

		275					280			285					
Ser	Tyr 290	Thr	Glu	Asp	Ala	Gln 295	Cys	Ile	Asp	Gly	Thr 300	Ile	Glu	Val	Pro
Lys 305	Cys	Phe	Lys	Glu	His 310	Ser	Ser	Leu	Ala	Phe 315	Trp	Lys	Thr	Asp	Ala 320
Ser	Asp	Val	Lys	Pro 325	Cys										

REIVINDICACIONES

1. Método de examen *in vitro* para identificar un grupo de alto riesgo de padecer cáncer de estómago que comprende las siguientes etapas:

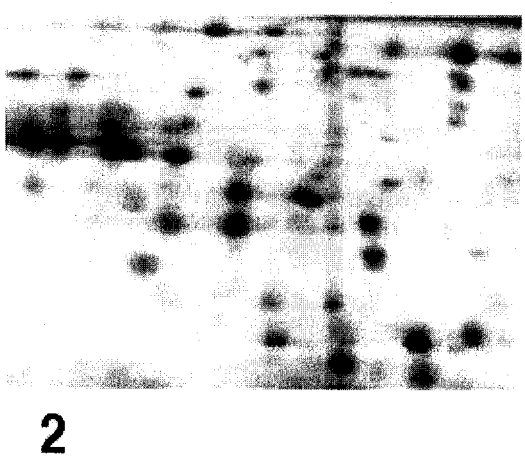
5

- (1) investigar el nivel de expresión de alfa-2-glicoproteína rica en leucina (LRG) en una muestra obtenida de un paciente;
- (2) comparar el nivel de expresión de LRG en la muestra con el nivel de expresión de LRG de personas sanas normales; y
- (3) considerar que el paciente pertenece al grupo de alto riesgo de padecer cáncer de estómago si el nivel de expresión de LRG en la muestra está aumentado en comparación con el nivel de expresión de LRG de personas sanas normales.
- Método de examen para identificar un grupo de alto riesgo de padecer cáncer de estómago según la reivindicación 1, en el que se investiga el nivel de expresión de LRG mediante electroforesis en gel bidimensional.
- Método de examen para identificar un grupo de alto riesgo de padecer cáncer de estómago según la reivindicación 1, en el que las muestras se seleccionan de un grupo que consiste en sangre, suero y plasma sanguíneo.
 - 4. Uso de alfa-2-glicoproteína rica en leucina (LRG) como marcador de diagnóstico *in vitro* para cáncer de estómago.
- 5. Uso de alfa-2-glicoproteína rica en leucina (LRG) y/o un anticuerpo contra LRG en un método de examen *in vitro* para identificar un grupo de alto riesgo de padecer cáncer de estómago.

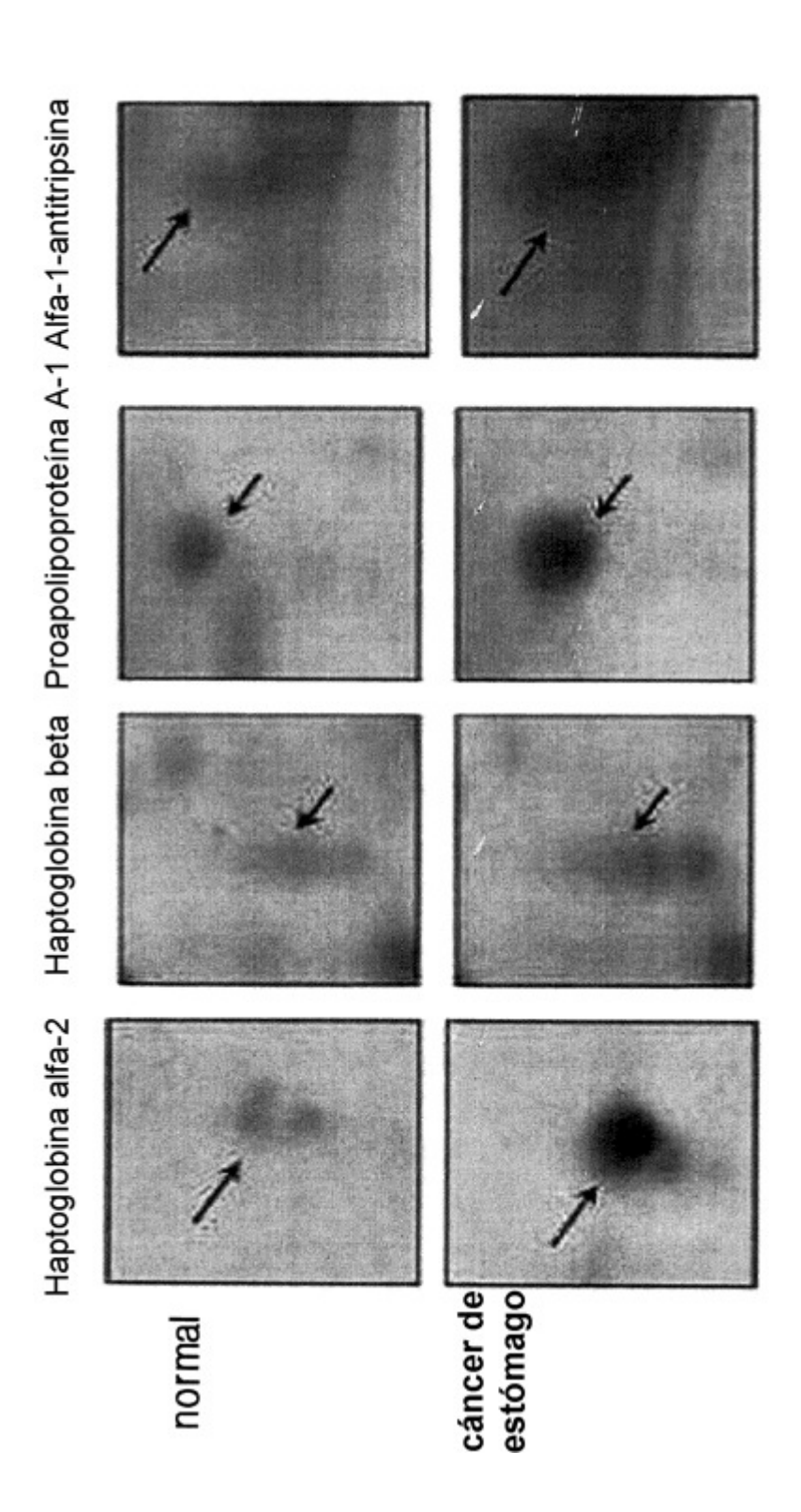
[Fig. 1]



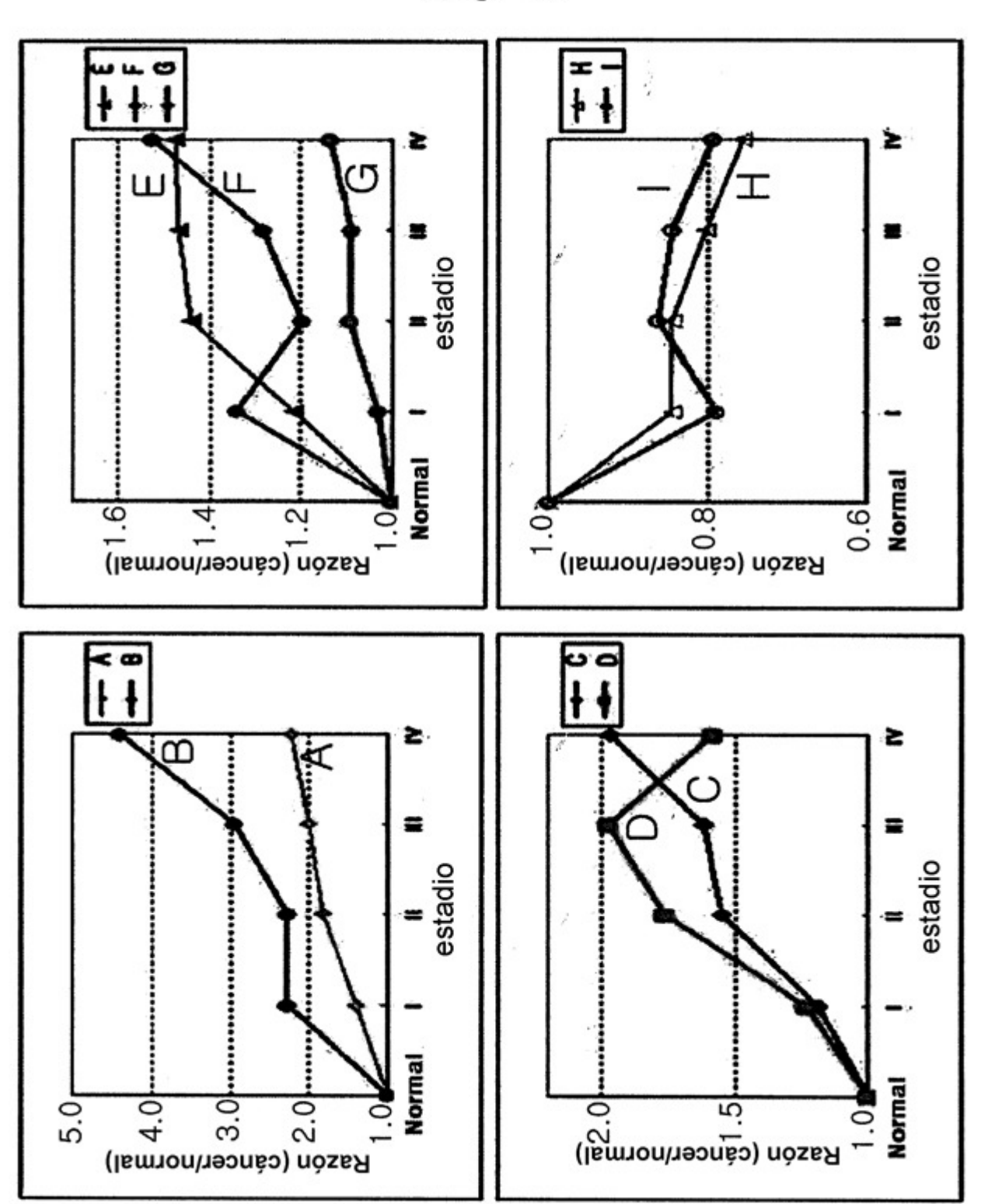
1



[Fig. 2]



[Fig. 3]



[Fig. 4] Haptoglobina beta 1 2 3 Haptoglobina alfa His-Hp α2 Нр α2 Нр α1 Transtiretina 28.9 A1 antitripsina